

PMT3306 - Módulo “Concentradores de tensão” - Material de apoio

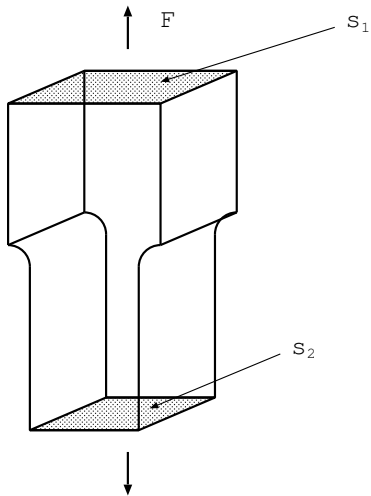
Cláudio Geraldo Schön

Departamento de Engenharia Metalúrgica e de Materiais
Escola Politécnica da Universidade de São Paulo

30 de agosto de 2020

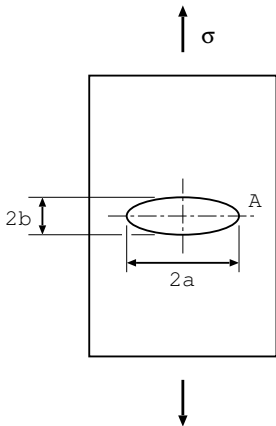
Origem dos concentradores de tensão

Fator de concentração de tensão



$$K_t \equiv \frac{\sigma_{max}}{\sigma} \quad (1)$$

Furo elíptico passante



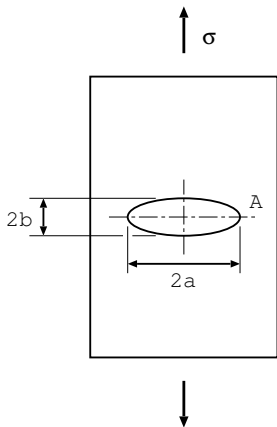
Da solução de Inglis (1911)

$$\sigma_{\beta\beta}|_{\alpha=\alpha_0, \beta=0} = \sigma \left[1 + 2\frac{a}{b} \right]$$

Ou seja,

$$K_t = 1 + 2\frac{a}{b}$$

Furo elíptico passante



Definindo o raio de curvatura da superfície da elipse no ponto A, ρ_A como:

$$\rho_A = \frac{b^2}{a}$$

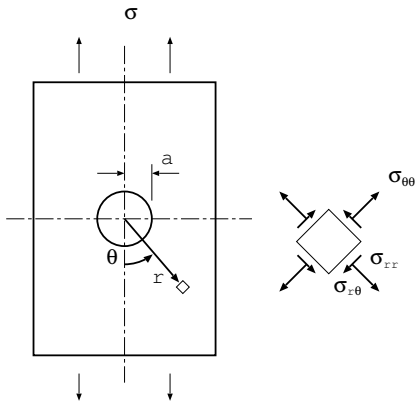
teremos:

$$K_t = 1 + 2\sqrt{\frac{a}{\rho_A}} \simeq 2\sqrt{\frac{a}{\rho_A}} \quad (\rho_A \ll a)$$

Analisando a equação anterior, vemos que:

$$\lim_{\rho_A \rightarrow 0} K_t = \infty$$

Furo circular passante



Tensão normal radial:

$$\sigma_{rr} = \frac{\sigma}{2} \left(1 + \frac{a^2}{r^2} \right) + \frac{\sigma}{2} \left(1 + 3\frac{a^4}{r^4} - 4\frac{a^2}{r^2} \right) \cos 2\theta$$

Tensão normal tangencial:

$$\sigma_{\theta\theta} = \frac{\sigma}{2} \left(1 + \frac{a^2}{r^2} \right) - \frac{\sigma}{2} \left(1 + 3\frac{a^4}{r^4} \right) \cos 2\theta$$

Tensão de cisalhamento:

$$\sigma_{r\theta} = -\frac{\sigma}{2} \left(1 - 3\frac{a^4}{r^4} + 2\frac{a^2}{r^2} \right) \sin 2\theta$$

Cavidades esféricas

Solução de Goodier (1933), $\theta = \frac{\pi}{2}, \forall \psi$:

$$\sigma_{\theta\theta} = \left[1 + \frac{4 - 5\nu}{2(7 - 5\nu)} \frac{a^3}{r^3} + \frac{9}{2(7 - 5\nu)} \frac{a^5}{r^5} \right] \sigma$$

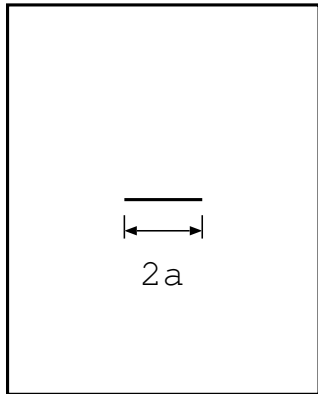
Em ($r = a$) e, assumindo-se $\nu \sim 0,3$:

$$\sigma_{max} \sim \frac{45}{22} \sigma \Rightarrow K_t \simeq 2$$

Em ($r = a, \theta = 0$) (polo da esfera)

$$(\sigma_{\theta\theta})_{r=a, \theta=0} = -\frac{3 + 15\nu}{2(7 - 5\nu)} \sigma$$

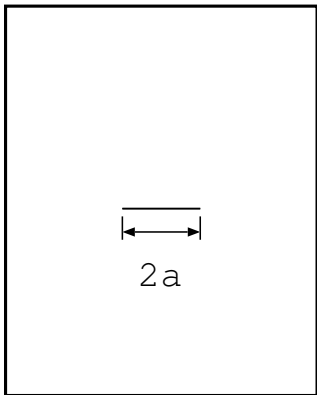
Modelo de Griffith (1921)



1. Sólido contendo trinca de tamanho a

$$U_1 = 0$$

Modelo de Griffith (1921)

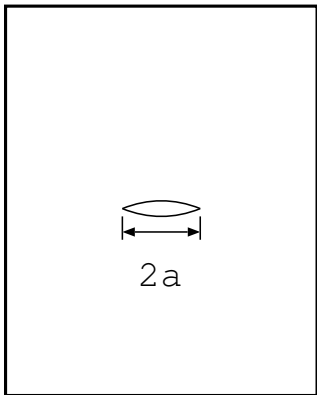


1. Sólido contendo trinca de tamanho a
2. Sólido é sujeito a uma tensão σ

$$U_2 = V \frac{\sigma^2}{2E}$$



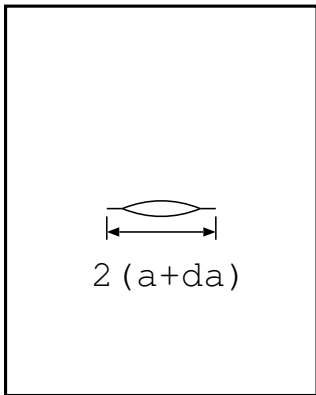
Modelo de Griffith (1921)



1. Sólido contendo trinca de tamanho a
2. Sólido é sujeito a uma tensão σ
3. A trinca relaxa (abre) liberando parte da energia elástica (δU_1^{el})

$$U_3 = V \frac{\sigma^2}{2E} - \delta U_1^{el}$$

Modelo de Griffith (1921)



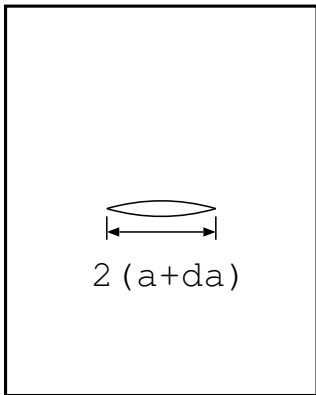
$2(a+da)$



1. Sólido contendo trinca de tamanho a
2. Sólido é sujeito a uma tensão σ
3. A trinca relaxa (abre) liberando parte da energia elástica (δU_1^{el})
4. A trinca cresce simétrica por da consumindo δU^{sup}

$$U_4 = V \frac{\sigma^2}{2E} - \delta U_1^{el} + \delta U^{sup}$$

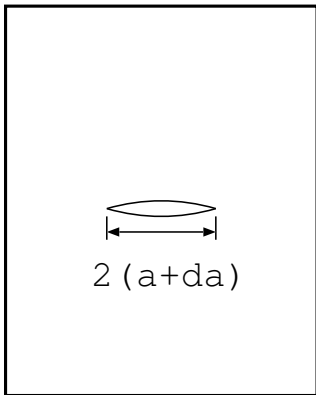
Modelo de Griffith (1921)



1. Sólido contendo trinca de tamanho a
2. Sólido é sujeito a uma tensão σ
3. A trinca relaxa (abre) liberando parte da energia elástica (δU_1^{el})
4. A trinca cresce simétrica por da consumindo δU^{sup}
5. A trinca relaxa, liberando mais energia elástica δU_2^{el}

$$U_5 = V \frac{\sigma^2}{2E} - \delta U_1^{el} + \delta U^{sup} - \delta U_2^{el}$$

Modelo de Griffith (1921)



1. Sólido contendo trinca de tamanho a
2. Sólido é sujeito a uma tensão σ
3. A trinca relaxa (abre) liberando parte da energia elástica (δU_1^{el})
4. A trinca cresce simétrica por da consumindo δU^{sup}
5. A trinca relaxa, liberando mais energia elástica δU_2^{el}

$$U_5 - U_3 = \delta U^{sup}(da) - d \left[\delta U^{el}(\sigma, a) \right]$$

Estimativa da parcela de relaxamento

Usando o modelo de Inglis (B é a espessura da placa), Griffith deduz que:

$$\delta U_1^{el} = \left(\frac{\sigma^2}{2E} \right) \times (2\pi a^2 B)$$

e

$$\delta U_2^{el} = \left(\frac{\sigma^2}{2E} \right) \times [2\pi(a + da)^2 B]$$

Cálculo do trabalho de crescimento da trinca

Definindo a tensão superficial do sólido (γ_S) e lembrando que para cada extensão da trinca, duas superfícies livres são criadas:

$$\delta U^{sup} = (2daB) (2\gamma_S)$$

Critério de Griffith

A expressão final pode ser calculada expandindo-se o quadrado em δU_2^{el} e desprezando o termo quadrático em da :

$$\Delta U = \left(4\gamma_s - \frac{2\pi\sigma^2 a}{E} \right) B da$$

Critério de Griffith

A expressão final pode ser calculada expandindo-se o quadrado em δU_2^{el} e desprezando o termo quadrático em da :

$$\Delta U = \left(4\gamma_s - \frac{2\pi\sigma^2 a}{E} \right) Bda$$

Critério de estabilidade.

Critério de Griffith

A expressão final pode ser calculada expandindo-se o quadrado em δU_2^{el} e desprezando o termo quadrático em da :

$$\Delta U = \left(4\gamma_S - \frac{2\pi\sigma^2 a}{E} \right) Bda$$

Critério de estabilidade.

No EPT:

$$\sigma_f = \sqrt{\frac{2E\gamma_S}{\pi a}} \quad (2)$$

No EPD:

$$\sigma_f = \sqrt{\frac{2E\gamma_S}{\pi a(1 - \nu^2)}} \quad (3)$$

Solução para a trinca circular interna

Penny-shaped crack

Sack (1946):

$$\sigma_f = \sqrt{\frac{\pi E \gamma_S}{2a(1 - \nu^2)}}$$

Solução para a trinca circular interna

Penny-shaped crack

Sack (1946):

$$\sigma_f = \sqrt{\frac{\pi E \gamma_S}{2a(1 - \nu^2)}}$$

Griffith:

$$\sigma_f = \sqrt{\frac{2E \gamma_S}{\pi a(1 - \nu^2)}}$$

Solução para a trinca circular interna

Penny-shaped crack

Sack (1946):

$$\sigma_f = \sqrt{\frac{\pi E \gamma_S}{2a(1-\nu^2)}}$$

Griffith:

$$\sigma_f = \sqrt{\frac{2E\gamma_S}{\pi a(1-\nu^2)}}$$

Sneddon (1946):

coordenadas cilíndricas (r, θ, z) :

$$\left\{ \begin{array}{l} \sigma_{rr} = \frac{2\sigma}{\pi} \left(\frac{a}{\delta}\right)^{\frac{1}{2}} \left\{ \frac{3}{4} \cos \frac{1}{2}\psi + \frac{1}{4} \cos \frac{5}{2}\psi \right\} \\ \sigma_{zz} = \frac{2\sigma}{\pi} \left(\frac{a}{\delta}\right)^{\frac{1}{2}} \left\{ \frac{5}{4} \cos \frac{1}{2}\psi - \frac{1}{4} \cos \frac{5}{2}\psi \right\} \\ \sigma_{rz} = \frac{\sigma}{\pi} \left(\frac{a}{\delta}\right)^{\frac{1}{2}} \left\{ \sin \psi \cos \frac{3}{2}\psi \right\} \end{array} \right.$$

onde δ e ψ denotam a distância e o ângulo tomados com referência a um ponto arbitrário situado à borda da trinca.

Considerações filosóficas

$$\sqrt{E\gamma_S} = \sigma_c \sqrt{\pi a}$$

Força de extensão de trinca

G, G_c

Irwin (1957):

$$G \equiv \frac{1}{2B} \frac{\delta U}{\delta a} = \frac{\pi \sigma^2 a}{E}$$

Crescimento instável ocorre quando:

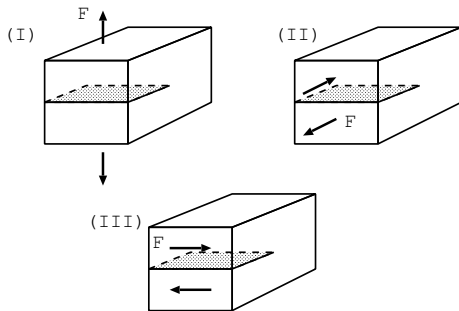
$$G \geq G_c$$

Hipóteses da Mecânica da Fratura Linear Elástica

- Defeitos semelhantes a trincas sempre existem nos materiais frágeis.
- Esses defeitos podem ser simulados por (ou seja, tornados similares a) uma trinca plana passante de tamanho $2a$ em uma placa infinita.
- Durante o carregamento do sólido com um estado de tensão remoto σ desenvolve-se um estado de tensão não homogêneo na placa, que será descrito por uma função $K(\sigma, a)$, denominada **fator de intensificação de tensão**.
- O material apresenta uma resistência intrínseca à propagação da trinca, que será denominada K_R , ou simplesmente R .

Modos de carregamento de trincas

- I. Modo de abertura (“*opening*”).
- II. Modo de deslizamento (“*sliding*”).
- III. Modo de rasgamento (“*tearing*”).

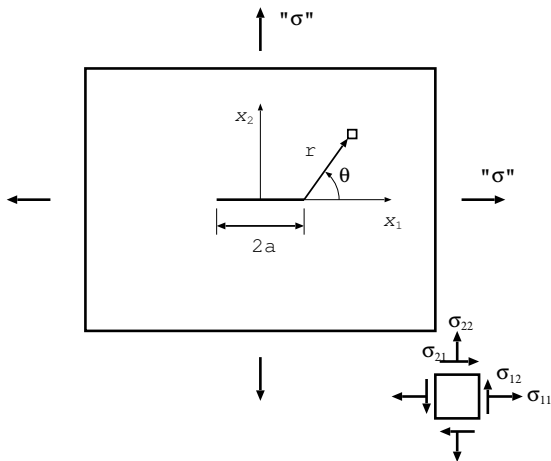


Solução de Irwin (1957)

$$\sigma_{ij}(\sigma, a) = \frac{K}{\sqrt{2\pi r}} f_{ij}(\theta) \quad (4)$$

onde

$$K = \sigma\sqrt{\pi a} \quad (5)$$



Estados de tensão

Modo I:

$$\begin{bmatrix} \sigma_{11} \\ \sigma_{22} \\ \sigma_{12} \end{bmatrix} = \frac{K_I}{\sqrt{2\pi r}} \cos \frac{\theta}{2} \begin{bmatrix} 1 - \sin \frac{\theta}{2} \sin \frac{3\theta}{2} + \dots \\ 1 + \sin \frac{\theta}{2} \sin \frac{3\theta}{2} + \dots \\ \sin \frac{\theta}{2} \cos \frac{3\theta}{2} + \dots \end{bmatrix}$$

$$\begin{aligned} \sigma_{13} = \sigma_{23} &= 0 \\ \sigma_{33} &= \begin{cases} 0 & \text{EPT} \\ \nu(\sigma_{11} + \sigma_{22}) & \text{EPD} \end{cases} \end{aligned}$$

Estados de tensão

Modo II:

$$\begin{bmatrix} \sigma_{11} \\ \sigma_{22} \\ \sigma_{12} \end{bmatrix} = \frac{K_{II}}{\sqrt{2\pi r}} \begin{bmatrix} -\sin \frac{\theta}{2} \left(2 \cos \frac{\theta}{2} \cos \frac{3\theta}{2} \right) + \dots \\ \sin \frac{\theta}{2} \cos \frac{\theta}{2} \cos \frac{3\theta}{2} + \dots \\ \cos \frac{\theta}{2} \left(1 - \sin \frac{\theta}{2} \sin \frac{3\theta}{2} \right) + \dots \end{bmatrix}$$

$$\begin{aligned} \sigma_{13} = \sigma_{23} &= 0 \\ \sigma_{33} &= \begin{cases} 0 & \text{EPT} \\ \nu(\sigma_{11} + \sigma_{22}) & \text{EPD} \end{cases} \end{aligned}$$

Estados de tensão

Modo III:

$$\begin{bmatrix} \sigma_{13} \\ \sigma_{23} \end{bmatrix} = \frac{K_{III}}{\sqrt{2\pi r}} \begin{bmatrix} -\sin \frac{\theta}{2} + \dots \\ \cos \frac{\theta}{2} + \dots \end{bmatrix}$$
$$\sigma_{11} = \sigma_{22} = \sigma_{33} = \sigma_{12} = 0$$

Fator de forma

Para uma placa **finita** de largura W teremos:

$$K = \sigma \left(W \tan \frac{\pi a}{W} \right)$$

expandindo a equação em série de potências:

$$\begin{aligned} K &= \sigma W^{\frac{1}{2}} \left(\frac{\pi a}{W} + \frac{\pi^3 a^3}{3W^3} + \dots \right)^{\frac{1}{2}} \\ &= \sigma \sqrt{\pi a} \left(1 + \frac{\pi^2 a^2}{3W^2} + \dots \right)^{\frac{1}{2}} = Y \sigma \sqrt{\pi a} \end{aligned}$$

A crítica de Barenblatt

Barenblatt (1962)

Mesmo no caso ideal (sólido contínuo) tensões não podem assumir valores infinitos \rightarrow forma da ponta da trinca

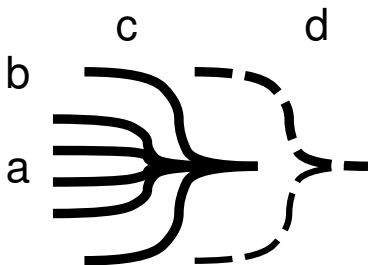
$$\sigma_{ij} = \frac{N(\psi)}{\delta^{\frac{1}{2}}} = \frac{0}{0}$$

$$\sigma_{22} = -\frac{1}{\pi\delta} \int_0^\infty \frac{g(t)dt}{\sqrt{t}}$$

e

$$u_2 = \mp \frac{4(1-\nu^2)}{\pi E} \sqrt{\delta} \int_0^\infty \frac{g(t)dt}{\sqrt{t}}$$

Evolução esquemática da forma da ponta da trinca



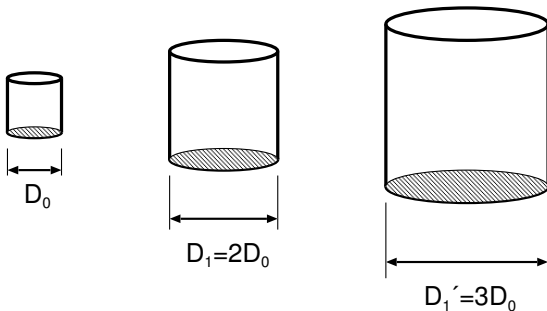
$$K_c = -\frac{1}{\pi} \int_0^d \frac{G(t)dt}{\sqrt{t}}$$

$G(t)$ corresponde à distribuição das forças de coesão moleculares em função da separação entre as duas faces e d é a espessura da borda da trinca.

Fator de Escala

Materiais pseudo-frágeis (Bažant)

Idealmente dúctil:

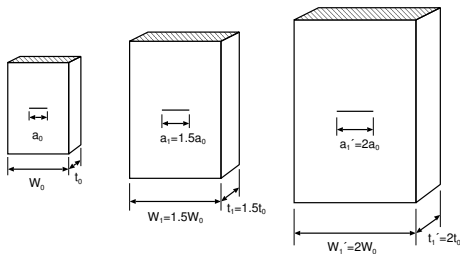


$$F_{max} = \sigma_N \times s_0(D)$$

Fator de Escala

Materiais pseudo-frágeis (Bažant)

Idelamente frágil:



$$\sigma_f^0 = \frac{K_{Ic}}{Y(a_0, W_0) \sqrt{\pi a_0}}$$

$$\sigma_f^1 = \frac{K_{Ic}}{Y(a_1, W_1) \sqrt{\pi a_1}} = \frac{K_{Ic}}{Y(a_1, W_1) \sqrt{1.5\pi a_0}}$$

Fator de Escala

Materiais pseudo-frágeis (Bažant)

$$P = P_0 f(D)$$

com

$$f(D) = \left(\frac{D}{c_1} \right)^s$$

Idealmente dúctil $\rightarrow s = 0$, idealmente frágil $\rightarrow s = -\frac{1}{2}$, casos pseudo-frágeis $\rightarrow 0 \geq s \geq -\frac{1}{2}$.

$$\ell_0 = \frac{1}{\pi} \frac{(K_{Ic})^2}{\sigma_0}$$

Distribuição de Weibull

Hipóteses

Hipóteses básicas:

- I- população homogênea de defeitos de tamanhos e orientações variáveis.
- II- Os defeitos não interagem.
- III- A fratura total da estrutura ocorrerá quando o defeito mais favoravelmente orientado atingir a condição de criticalidade (hipótese do elo mais fraco, ou *weakest-link*).
- IV- Um sólido de volume unitário V_0 , sujeito a uma tensão uniaxial σ apresentará uma certa probabilidade de falha, que será denotada por $P_1(\sigma, V_0)$.

Probabilidade acumulada de falha

$$P_f(\sigma) = 1 - \exp \left\{ - \int_V c[\sigma_{ij}(\mathbf{x})] d(\mathbf{x}) \right\}$$

materiais frágeis (i representam as direções principais):

$$c(\sigma_{ij}) \approx \sum_i \frac{P_1(\sigma_i)}{V_0}$$

com

$$P_1(\sigma) = \left(\frac{\sigma - \sigma_u}{\sigma_0} \right)^m$$

Probabilidade acumulada de falha

$$P_f = 1 - \exp \left[- \left(\frac{\sigma - \sigma_u}{\sigma_0} \right)^m \frac{1}{V_0} \int_V d\mathbf{x} \right] = 1 - \exp \left[- \left(\frac{\sigma - \sigma_u}{\sigma_0} \right)^m \right]^{\frac{V}{V_0}}$$

com

$$\langle \sigma \rangle = \sigma_0 \Gamma \left(1 + m^{-1} \right) \left(\frac{V}{V_0} \right)^{\frac{1}{m}}$$

e

$$\omega = \sqrt{\langle \sigma^2 \rangle - (\langle \sigma \rangle)^2} = \left[\frac{\Gamma(1 + 2m^{-1})}{\Gamma^2(1 + m^{-1})} - 1 \right]^{\frac{1}{2}}$$